



## PŮVODNÍ PRÁCE

# Analytické hodnotenie mono[{3-[4-(2-ethoxyethoxy)-benzoyloxy]-2-hydroxypropyl}-terc-butylamónium]fumarátu

## Analytical profile of mono[{3-[4-(2-ethoxyethoxy)-benzoyloxy]-2-hydroxypropyl}-tert-butylammonium] fumarate

Ivan Malík • Lenka Mitterová • Fils Andriamainty • Petr Mokrý • Miloš Lukáč • Jozef Csöllei • Jana Gališinová • Janka Karlovská

Došlo 25. srpna 2011/ Přijato 17. října 2011

### Súhrn

Predmetom publikácie je komplexné spektrálne a fyzičkovo-chemické hodnotenie mono[{3-[4-(2-ethoxyethoxy)-benzoyloxy]-2-hydroxypropyl}-terc-butylamónium]fumarátu, potenciálneho ultrakrátko pôsobiaceho blokátora  $\beta_1$ -adrenergných receptorov. Totožnosť hodnotenej zlúčeniny (pracovne označenej ako UPB-2) bola potvrdená  $^1\text{H}$ -,  $^{13}\text{C}$ -NMR a IR spektrami. V rámci stanovenia základných fyzičkovo-chemických charakteristik bola určená hodnota teploty topenia, rozpustnosť v spektre rozpúšťadiel, čistota (adsorpčná chromatografia na tenkej vrstve), povrchová aktivita (nepriama Traubeho stalagmometrická metóda), acidobázické charakteristiky (hodnota  $pK_a$  stanovená alkalimetrickou titráciou), hodnoty  $\log \epsilon$  (spektrofotometricky v UV/VIS oblasti), ako aj hodnotenie vplyvu kyslého a zásaditého prostredia na stabilitu UPB-2. Ďalšími experimentálne stanovenými parametrami boli lipohydrofilné deskriptory určené pomocou RP-HPLC ( $\log k'$ ), shake flask metódou stanovené hodnoty rozdeľovacích koeficientov  $P_{\text{exp}}$  (resp.  $\log P_{\text{exp}}$ ) v rôznych rozdeľovacích systémoch. Na základe  $\log P_{\text{exp}}$ -údajov bola predpovedaná schopnosť UPB-2 prechádzať cez hematoencefaličkú bariéru. Pre stanovenie obsahu UPB-2 bola aplikovaná RP-HPLC (reversed-phase HPLC) metóda

vnútorného štandardu a UV/VIS spektrofotometria pri vlnovej dĺžke 260 nm (vodné prostredie) a 258 nm (prostredie metanolu).

**Kľúčové slová:**  $\beta_1$ -blokátor • analytické hodnotenie • spektrálna a fyzičkovo-chemická charakteristika • stanovenie obsahu

### Summary

The present paper aims at a complex spectral and physicochemical evaluation of mono[{3-[4-(2-ethoxyethoxy)-benzoyloxy]-2-hydroxypropyl}-tert-butylammonium] fumarate, the potential ultra-short acting blocker of  $\beta_1$ -adrenergic receptors. The identity of the evaluated compound (labelled as UPB-2) was confirmed by  $^1\text{H}$ -,  $^{13}\text{C}$ -NMR and IR spectral data as well. The estimated physicochemical parameters included melting point data, solubility in various media, purity checking (adsorption thin-layer chromatography), surface activity determination (non-direct Traube stalagmometric method), acidobasic characteristics ( $pK_a$  value determination by alkalimetric titration),  $\log \epsilon$  values estimation (spectrophotometrically in UV/VIS region) and a study of the influence of acidic and alkaline media towards the stability of UPB-2. Other experimentally estimated values were lipohydrophilic descriptors using RP-HPLC ( $\log k'$ ) and the  $\log P_{\text{exp}}$ s in various lipohydrophilic media by the shake flask method. Based on the  $\log P_{\text{exp}}$  readouts, the ability to permeate across the brain-blood barrier was predicted. For the content determination of UPB-2 the RP-HPLC (reversed-phase HPLC), the method of an internal standard and UV/VIS spectrophotometry at the wavelength of 260 nm (aqueous medium) and at 258 nm (methanolic medium) was applied.

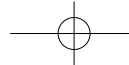
**Key words:**  $\beta_1$ -blockers • analytical evaluation • spectral and physicochemical properties • content determination

PharmDr. Ivan Malík (✉) • L. Mitterová • F. Andriamainty •  
J. Gališinová  
Katedra farmaceutickej chémie, Farmaceutická fakulta  
Univerzity Komenského  
Odbojárov 10, 832 32 Bratislava, Slovenská republika  
e-mail: malik@fpharm.uniba.sk

P. Mokrý • J. Csöllei  
Ústav chemických lečív, Farmaceutická fakulta, Veterinárna  
a farmaceutická univerzita Brno

M. Lukáč  
Katedra chemickej teórie liečiv, Farmaceutická fakulta,  
Univerzita Komenského v Bratislave

J. Karlovská  
Laboratórium NMR, Farmaceutická fakulta, Univerzita Komenského  
v Bratislave



## Úvod

Používanie niektorých antagonistov  $\beta$ -adrenergných receptorov ( $\beta$ -blokátorov,  $\beta$ B) pri liečbe pacientov s akútou myokardiálou ischémiou môže viesť k srcovému zlyhaniu, sínusovej bradykardii, progresívnej atrioventrikulárnej blokáde alebo k bronchospazmom<sup>1)</sup>. Spomínané komplikácie nie sú často pred samotnou terapiou s  $\beta$ B predpovedateľné, môžu byť dôsledkom priamej depresie myokardu a jeho funkcií ako aj špecializovaných konduktívnych tkanív. Zároveň relatívne dlhé pôsobenie štandardných  $\beta$ B znemožňuje pohotovú elimináciu takýchto nežiaducích účinkov<sup>1, 2)</sup>. Preto snaha výskumných tímov smerovala a smeruje k projekcii, príprave a hodnoteniu takých  $\beta$ B, ktoré by sa vyznačovali okamžitým nástupom účinku, možnosťou titrovania dávky a relatívne krátkou dobou trvania ich pôsobenia. Esmolol je hydrofilným kardioselektívnym antagonistom  $\beta_1$ -adrenergných receptorov ( $\beta_1/\beta_2 = 33$ ) bez vnútornej sympathicomimetickej aktivity s polčasom eliminácie ( $T_{1/2}$ ) približne 9 minút. Tento relatívne krátky  $T_{1/2}$  je spôsobený hydrolýzou prítomnej esterovej väzby sérovými a tkaničovými esterázami<sup>3, 4)</sup>. Časovo limitované trvanie účinku esmololu umožňuje pri intravenóznej aplikácii rýchle titrovanie dávky pre dosiahnutie optimálnej  $\beta$ -adrenergnej blokády<sup>1)</sup>. Vo vysokých dávkach však môže spôsobiť priamu kardiodepresiu, hypotenziu a srdcové zlyhanie<sup>1, 3, 4)</sup>. Ešte kratší  $T_{1/2}$  (približne 4 minúty) je prisudzovaný landiololu, vysokoselektívemu  $\beta$ B ( $\beta_1/\beta_2 = 255$ ), ktorý v porovnaní s esmololom<sup>5)</sup> vykazuje *in vivo* devätnásobne účinnejšiu blokádu  $\beta$ -adrenergných receptorov a *in vitro* osemnásobne vyššiu kardioselektivitu. Súčasne má landiolol aj rýchlejší nástup účinku ako aj elimináciu pri miernejšom negatívnom inotropnom pôsobení<sup>6, 7)</sup>.

Cielom predkladanéj práce, analytického hodnotenia mono[3-[4-(2-ethoxyethoxy)-benzyloxy]-2-hydroxypropyl]-terc-butylamónium]fumarátu (pracovne označeného ako UPB-2) je rozšíriť spektrum poznatkov o (potenciálnych) ultrakrátko pôsobiacich  $\beta$ B z hľadiska určenia ich spektrálnych a fyzikálno-chemických parametrov využiteľných nielen v rámci QSAR štúdií, ale aj späťne v projekcii nových potenciálnych liečív ovplyvňujúcich kardiovaskulárne funkcie.

## Experimentálna časť

### Spektrálna časť

#### $^1\text{H}$ - a $^{13}\text{C}$ -NMR spektrometria

##### Použité chemikálie

Deuterovaná voda (rozpušťadlo), ako vnútorný štandard bol použitý tetradeutero-3-trimethylsilylpropionát (Fluka AG, Buchs, Švajčiarsko;  $(\text{CH}_3)_3\text{SiCD}_2\text{COONa}$ ,  $M_r = 172,27$ ). Pripravili sa roztoky hodnotenej substancie UPB-2 s koncentráciou 2 mg/650  $\mu\text{l}$   $\text{D}_2\text{O}$ .

##### Prístroje a zariadenia

NMR spektrometer Varian Gemini 2000 (Varian, New Jersey, USA), magnet Oxford 300 MHz (Oxford, Veľká Británia).

#### Parametre pri meraní $^1\text{H}$ -NMR spektier

Rozsah = 13 – 1 ppm, aktivačný čas = 3 s, počet akvizícií = 32, delay = 1 s, pracovná teplota = 20 °C.

#### Parametre pri meraní $^{13}\text{C}$ -NMR spektier

Rozsah = 240 – 20 ppm, aktivačný čas = 1,815 s, počet akvizícií = 10 000, delay = 1 s, pracovná teplota = 20 °C.

$^1\text{H}$ -NMR (300 MHz)  $\delta$  (ppm): 1,24 (t, 3H,  $\text{CH}_2\text{CH}_3$ ,  $J = 7,0$  Hz); 1,34 (s, 9H,  $\text{C}(\text{CH}_3)_3$ ); 2,96–3,02 (m, 2H,  $\text{CH}_2\text{NH}_2^+\text{C}(\text{CH}_3)_3$ ); 3,55–3,62 (kva, 2H,  $\text{CH}_2\text{CH}_3$ ,  $J = 7,0$  Hz); 3,79 (t, 2H,  $\text{CH}_2\text{OCH}_2\text{CH}_2$ ,  $J = 4,7$  Hz); 4,15 (t, 2H,  $\text{CH}_2\text{CH}_2\text{OAr}$ ,  $J = 4,8$  Hz); 4,25–4,39 (m, 2H,  $(\text{OH})\text{CHCH}_2\text{NH}_2^+$ ); 4,40–4,50 (m, 1H,  $\text{CH}(\text{OH})$ ); 6,67 (s,  $1/2$ , fumarát, 1H,  $\text{CH}=\text{CH}$ ); 6,90; 6,93 (d, 2H, OArH,  $J = 8,9$  Hz); 6,70–7,20 (broad peak, 3H,  $(\text{OH})$ ,  $\text{NH}_2^+$ ); 7,95; 7,98 (d, 2H, ArHCOO,  $J = 8,9$  Hz).

$^{13}\text{C}$ -NMR (75 MHz)  $\delta$  (ppm): 15,14 ( $\text{CH}_3\text{CH}_2\text{O}$ ); 26,10 ( $\text{NH}_2^+\text{C}(\text{CH}_3)_3$ ); 45,60 ( $\text{CH}_2\text{NH}_2^+$ ); 55,51 ( $\text{C}(\text{CH}_3)_3$ ); 65,49 ( $\text{CH}_3\text{CH}_2\text{O}$ ); 66,21 ( $\text{OCH}_2\text{CH}(\text{OH})$ ); 66,89 ( $\text{CH}_3\text{CH}_2\text{OCH}_2\text{CH}_2\text{OAr}$ ); 67,59 ( $\text{CH}_3\text{CH}_2\text{OCH}_2\text{CH}_2\text{OAr}$ ); 68,70 ( $\text{CH}(\text{OH})$ ); 114,27 (2C, OArC<sub>2</sub>); 122,12 (1C, ArCCOO); 131,74 (2C, ArC<sub>2</sub>CCOO); 136,35 (fumarát, CH=CH); 162,76 (1C, OArC); 166,03 (COO); 173,11 (fumarát, COO).

## IR spektrometria

### Prístroje a zariadenia

Spektrometer FT-IR Impact 400D (Nicolet), merané v tabletách bromidu draselného v koncentráции 2–3 mg látky/800 mg KBr.

IR  $\text{cm}^{-1}$ :  $\nu_{\text{as}}(\text{C}-\text{H})$ : 2972;  $\nu_s(\text{C}-\text{H})$ : 2864;  $\nu(\text{C}=\text{O})$ : 1699;  $\nu_{\text{as}}(\text{C}=\text{C})$ : 1607;  $\delta(\text{N}-\text{H})$ : 1508;  $\delta(\text{CH}_2)$ : 1457;  $\nu(\text{C}-\text{N})_{\text{sek. N}}^{\text{as}}$ : 1353, 1280;  $\nu_{\text{as}}(\text{C}-\text{O}-\text{C})$ : 1171 (1118);  $\nu(\text{C}-\text{O})_{\text{es}}$ : 1251, 1053;  $\gamma(\text{C}-\text{H})$ : 767, 660; v IR spektre nebola nepozorovaná vibrácia  $\nu(\text{NH}_2^+)$  predpokladaná približne okolo 2700;  $\delta(\text{NH}_2^+)$ : 1600–1575 v prekryve;  $\nu(\text{C}-\text{OH})$ : skryté v oblasti 1450–1500.

### Spektrofotometria v UV/VIS oblasti

#### Použité chemikálie

Destilovaná voda, metanol *p.a.* (CentralChem, Bratislava, SR).

#### Príprava roztokov

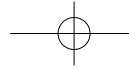
Pripravili sa vodné a metanolové roztoky<sup>8)</sup> študovanej látky UPB-2 s c =  $1 \times 10^{-5}$  mol.l<sup>-1</sup>.

#### Prístroje a zariadenia

Analytické váhy Chyo JL-180 (Chyo Balance Corporation, Japonsko), UV/VIS spektrofotometer (8452 A, diode array spectrophotometer, typ Vectra 286/12) s kremennými kyvetami hrúbky 1 cm, osobný počítač, vyhodnocovací softvér (HP 845 × UV-Visible System).

#### Pracovný postup

Absorpčné spektrum UPB-2 sa meralo v destilované vode ako aj v metanole. Na základe Lambert-Beerovho zákona sa vypočítali hodnoty  $\epsilon$ , resp.  $\log \epsilon$  pre



všetky absorpcné maximá v obidvoch zvolených médiách.

*UPB-2*, vodné prostredie – UV  $\lambda_{\text{max}}$  nm (absorbancia; log  $\varepsilon$ ): 198 (1,29180; 5,11), 260 (0,88861; 4,95). *UPB-2*, metanolové prostredie – UV  $\lambda_{\text{max}}$  nm (absorbancia; log  $\varepsilon$ ): 210 (0,87086; 4,94), 258 (0,89619; 4,95).

### Analytická časť

#### Stanovenie teploty topenia

##### Prístroje a zariadenia

STUART SMP 11 (Lennox Laboratory Suppliers, Dublin, Írsko).

Tab. 1. Základná charakteristika mono/[3-[4-(2-etoxyethoxy)-benzoyloxy]-2-hydroxypropyl]-terc-butylamónium]fumarátu (pracovné označenie *UPB-2*)

	<b>Sumárny vzorec (báza)</b> $C_{18}H_{29}NO_5$	<b><math>M_r</math> (báza)</b> 339,43	<b>Sumárny vzorec (sol)</b> $C_{26}H_{37}NO_{13}$	<b><math>M_r</math> (sol)</b> 794,93	<b><math>t_t</math> (°C)</b> 150–153
--	--	--	--	---	---

##### Pracovný postup

Teplota topenia *UPB-2* bola stanovená po 24-h sušení v exsikátore nad  $P_2O_5$  pri tlaku 10 kPa a laboratórnej teplote, jej hodnoty sú uvedené v tabuľke 1.

#### Stanovenie rozpustnosti

##### Použité chemikálie

Destilovaná voda, metanol *p.a.* (CentralChem, Bratislava, SR), lieh 96 % (Lachema, Brno, ČR), kyselina chlorovodíková s  $c = 0,1 \text{ mol.l}^{-1}$  (CentralChem, Bratislava, SR), hydroxid sodný s  $c = 0,1 \text{ mol.l}^{-1}$  (CentralChem, Bratislava, SR), chloroform *p.a.* (CentralChem, Bratislava, SR), acetón *p.a.* (Central Chem, Bratislava, SR), dietyléter *p.a.* (CentralChem, Bratislava, SR), dimethylsulfoxid *p.a.* (Lachema, Brno, ČR).

##### Prístroje a zariadenia

Analytické váhy Chyo JL-180 (Chyo Balance Corporation, Japonsko).

##### Pracovný postup

Rozpustnosť študovanej látky *UPB-2* bola stanovená podľa SL 1<sup>9</sup>. Návažok látky predstavoval jednotliovo 0,0100 g pre všetky rozpúšťadlá. Postupne sa hodnotila jej rozpustnosť v destilovanej vode, v metanole, v liehu 96 %, v kyseline chlorovodíkovej s  $c = 0,1 \text{ mol.l}^{-1}$ , v hydroxide sodnom s  $c = 0,1 \text{ mol.l}^{-1}$ , v chloroformi, v acetóne, v dietyléri a v dimethylsulfoxide pri laboratórnej teplote. Objem pridávaných rozpúšťadiel bol adekvátnie upravený vzhľadom na zvolený návažok.

#### Stanovenie hodnoty $R_f$ pomocou adsorpčnej chromatografie na tenkej vrstve

##### Použité chemikálie

Lieh 96 % (Lachema, Brno, ČR), benzén *p.a.* (Lachema, Brno, ČR), dietylámín *p.a.* (Merck, Schudart, SRN), petroléter *p.a.* (Lach-Ner, Neratovice, ČR), dietyléter *p.a.* (CentralChem, Bratislava, SR), acetón *p.a.* (Spolchim, Bratislava, SR), propán-1-ol *p.a.* (Plichem, Darmstadt, SRN), cyklohexán *p.a.* (Lach-Ner, Neratovice, ČR), chloroform *p.a.* (CentralChem, Bratislava, SR), toluén *p.a.* (Lachema, Brno, ČR), etylacetát *p.a.* (CentralChem, Bratislava, SR).

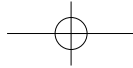
##### Materiál, prístroje a zariadenia

Silufol® UV<sub>254</sub> s vrstvou silikagélu s rozmermi 200 × 200 mm (nastrihaný na vhodne veľké časti), sklenené komory s rozmermi 190 × 180 × 80 mm, mikrokapilára (Hamilton Bonaduz, Švajčiarsko), UV-lampa (KRUSS UV 240, 230VAC, Hamburg, SRN).

##### Pracovný postup

Na komerčne vyrábané fólie Silufol® UV<sub>254</sub> s vrstvou silikagélu sa na vyznačený štart mikrokapilárou naniesli 2  $\mu\text{l}$  1 % metanolových roztokov hodnotenej zlúčeniny *UPB-2* a kyseliny *p*-hydroxybenzoovej (*p-OHBA*) ako „štandardu“, vstupnej substancie pri syntéze *UPB-2*. Po ukončení vyvíjania sa chromatogramy sušili pri laboratórnej teplote a detegovali sa pod UV-lampou pri vlnovej dĺžke 254 nm<sup>8</sup>. Výsledné hodnoty sú prieberom zo šiestich paralelných stanovení (pozri časť Výsledky a diskusia).

Skúšanými vyvíjacími sústavami boli:  $S_1$ : petroléter : dietyléter ( $\varphi = 1 : 2$  ako aj 2 : 1);  $S_2$ : acetón : petroléter ( $\varphi = 2 : 3$ );  $S_3$ : acetón : toluén ( $\varphi = 1 : 2$ );  $S_4$ : acetón : toluén : dietylámín : chloroform ( $\varphi = 1 : 2 : 0,5 : 1$ );  $S_5$ : petroléter : dietylámín ( $\varphi = 8 : 2$  ako aj 8 : 3);  $S_6$ : propán-1-ol : cyklohexán ( $\varphi = 1 : 1$ );  $S_7$ : etanol : benzén ( $\varphi = 10 : 3$ );  $S_8$ : chloroform : dietylámín ( $\varphi = 6 : 0,1$ );  $S_9$ : propán-1-ol : cyklohexán : dietylámín ( $\varphi = 5 : 5 : 0,1$  ako aj 5 : 5 : 1);  $S_{10}$ : acetón : petroléter : dietylámín ( $\varphi = 8 : 8 : 0,1$  ako aj 8 : 8 : 1);  $S_{11}$ : etanol : benzén : dietylámín ( $\varphi = 10 : 3 : 0,1$ );  $S_{12}$ : chloroform : cyklohexán : dietylámín ( $\varphi = 6 : 3 : 1$ );  $S_{13}$ : hexán : etylacetát ( $\varphi = 7 : 3$ ). Optimálne hodnoty  $R_f$  pre *UPB-2* a *p-OHBA* boli získané v sústave  $S_{11}$ .



### **Stanovenie povrchového napäťia**

#### *Použité chemikálie*

Destilovaná voda, metanol *p.a.* (CentralChem, Bratislava, SR).

#### *Prístroje a zariadenia*

Analytické váhy Chyo JL-180 (Chyo Balance Corporation, Japonsko), sklenený Traubeho stalagmometer (Kavalier, ČR).

#### *Pracovný postup*

Povrchové napätie *UPB-2* bolo stanovené, podobne ako v práci<sup>8)</sup>, nepriamou stalagmometrickou metódou počítania kvapiek. Použitý bol sklenený Traubeho stalagmometer (Kavalier, ČR). Pripravil sa roztok *UPB-2* s  $c = 1 \times 10^{-3}$  mol.l<sup>-1</sup>. Ako referenčná kvapalina sa použila destilovaná voda, ktorej povrchové napätie je 0,07259 N.m<sup>-1</sup> pri teplote  $t = 21$  °C.

### **Stanovenie disociačnej konštanty**

#### *Použité chemikálie*

Destilovaná voda, hydroxid sodný s  $c = 0,1$  mol.l<sup>-1</sup> (CentralChem, Bratislava, SR), metanol *p.a.* (Central Chem, Bratislava, SR).

#### *Prístroje a zariadenia*

Analytické váhy Chyo JL-180 (Chyo Balance Corporation, Japonsko), automatická byreta OP 930, digitálny pH-meter (HANNH Instruments HI 221, SRN), mikropripeta, elektromagnetické miešadlo (Laboratorní přístroje, Praha, ČR).

#### *Príprava roztokov*

Roztok hodnotenej látky *UPB-2* bol pripravený rozpustením 0,025 g substancie v destilovanej vode na objem 50,0 ml.

#### *Pracovný postup*

Disociačná konšanta *UPB-2* bola stanovená potenciometricky alkalimetrickou titráciou s použitím automatickej byrety OP 930 spojenej s digitálnym pH-metrom. Konštantný prípadok odmerného roztoku hydroxidu sodného s  $c = 0,1$  mol.l<sup>-1</sup> predstavoval 0,005 ml. Titrácia prebiehala pri teplote 21 °C. Zaznamenali sa hodnoty pH titrovaného roztoku, resp. roztokov v závislosti od pridaného množstva hydroxidu sodného. Po ukončení titrácie sa interpolačným stupňom podľa Hahna zistila presná spotreba odmerného roztoku a hodnota pri polovičnej spotrebe<sup>8)</sup>. Z priebehu potenciometrickej titrácie sa podľa vhodnej polynomickej funkcie v programe Sta-

tistica 8.0 (Stat Soft, Tulsa, USA) pomocou  $V_{1/2}$  vypočítaла disociačná konštanta. Výsledná hodnota  $pK_2$  pre *UPB-2* je v časti *Výsledky a diskusia* prezentovaná ako priemer troch paralelných stanovení.

### **Stanovenie logaritmu retenčného faktora $k'$ z RP-HPLC**

#### *Použité chemikálie*

Dusitan sodný s  $c = 0,1$  mol.l<sup>-1</sup>, metanol *p.a.* (Central Chem, Bratislava, SR), nátriumacetát (Lachema, Brno, ČR) na úpravu mobilnej fázy.

#### *Prístroje a zariadenia*

Chromatograf s vysokotlakovou pumpou Delta Chrom SDS 030, (Watrex, SR), slučkový dávkovač s 20-µl slučkou (Watrex, SR), kolóna s nepolárnou chemicky viazanou fázou Separon SGX C<sub>18</sub> 7 µm, 250 × 4 mm (Lachema, Brno, ČR), prietokový UV-detektor Delta Chrom UVD 200 (Watrex, SR).

#### *Pracovný postup*

Hodnota retenčného faktora  $k'$  (v literatúre uvádzaný aj ako kapacitný faktor  $k'$ ) bola stanovená podľa práce<sup>10)</sup> na kvapalinovom chromatografe s vysokotlakovou pumpou, so slučkovým dávkovačom, nepolárnou chemicky viazanou fázou a prietokovým UV-detektorm. Pre študovanú látku *UPB-2* a „standard“ *p-OHBA* boli použité dve mobilné fázy s rozdielnym percentuálnym zastúpením metanolu, t.j. 90 % a 95 % (pripravené z metanolu *p. a.* a destilovanej vody).

#### *Chromatografické podmienky*

A. Mobilná fáza – 90% metanol upravený vodným roztokom nátriumacetátu; prietoková rýchlosť – 0,6 ml.min<sup>-1</sup>; tlak – 7,9 MPa; vlnová dĺžka – 260 nm; pracovná teplota – 21–22 °C.

B. Mobilná fáza – 95% metanol upravený vodným roztokom nátriumacetátu; prietoková rýchlosť – 0,6 ml.min<sup>-1</sup>; tlak – 5,9 MPa; vlnová dĺžka – 260 nm; pracovná teplota – 21–22 °C.

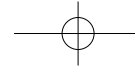
Mŕtvy čas kolóny ( $t_0$ ) sa stanovil roztokom dusitanu sodného s  $c = 0,1$  mol.l<sup>-1</sup>, ktorý mal v použitom systéme nulovú retenciu. Hodnota(-y)  $\log k'$  boli vypočítané zo vzťahu:  $\log k' = \log [(t_R - t_0) / t_0]$ , kde  $t_0$  je retenčný čas roztoku dusitanu sodného s  $c = 0,1$  mol.l<sup>-1</sup> a  $t_R$  je retenčný čas roztoku vzorky<sup>10)</sup>.

Roztoky *UPB-2* boli pripravené rozpustením 0,005 g látky v metanole a upravené na objem 25,0 ml. Po odvzdušnení mobilnej fázy bol chromatografický systém premývaný približne 20 minút. Prvé dva nástreky bol roztok dusitanu sodného, potom sa aplikovali roztoky

Tab. 2. Hodnota retenčného faktora  $k'$  ( $\log k'$ ) študovanej substancie *UPB-2* získanej z RP-HPLC v prostredí 90 % a 95 % metanolu

Mobilná fáza	$k'$				$\log k'$			
	I.*	II.	III.	Priemer	I.	II.	III.	Priemer
90 % metanol	0,94	0,94	0,94	0,94	-0,027	-0,027	-0,027	-0,027
95 % metanol	1,09	1,09	1,09	1,09	0,037	0,037	0,037	0,037

\*číslo merania



hodnotenej látky ( $20 \mu\text{l}$ ). Každá vzorka bola aplikovaná trikrát<sup>10)</sup>, pre výpočet sa použila priemerná hodnota  $t_{\text{R}}$ . Získané hodnoty sú uvedené v tabuľke 2.

#### **Stanovenie rozdeľovacieho koeficientu a výpočet niektorých molekulových deskriptorov**

##### **Použité chemikálie**

Oktán-1-ol *p.a.* (Merck, Schudart, SRN), heptán *p.a.* (Mikrochem, Bratislava, SR), cyklohexán *p.a.* (Lach-Ner, Neratovice, ČR), roztok kyseliny citrónovej s  $c = 0,1 \text{ mol.l}^{-1}$  (Chemapol, Praha, ČR), hydrogenfosforečnan disodný *p.a.* s  $c = 0,2 \text{ mol.l}^{-1}$  (Lachema, Brno, ČR).

##### **Prístroje a zariadenia**

Analytické váhy Chyo JL-180 (Chyo Balance Corporation, Japonsko), mechanická trepačka (Laboratórní přístroje, Praha, ČR), UV/VIS spektrofotometer (pozri UV/VIS spektrofotometriu).

##### **Príprava roztokov**

Tlmivý roztok s hodnotou  $\text{pH} = 7,2$  sa pripravil zmiešaním 20,8 ml roztoku kyseliny citrónovej a 195,2 ml roztoku hydrogenfosforečnanu disodného, a potom sa hodnota  $\text{pH}$  upravila na 7,4. Základný roztok skúšanej látky UPB-2 sa pripravil navážením 0,100 g zlúčeniny, jej prenesením do 50-ml odmernej banky a rozpustením v 30–40 ml tlmivého roztoku<sup>8, 10)</sup>. Po ochladení sa banka týmto roztokom doplnila na objem 50 ml.

##### **Pracovný postup**

Rozdeľovací koeficient  $P_{\text{exp}}$  študovanej zlúčeniny UPB-2 bol stanovený experimentálne klasickou *shake flask* metódou jej vytrepaním medzi dve nemiešateľné fázy tak, ako sa postupovalo aj v publikáciach<sup>8, 10)</sup>. Lipofilnú fázu reprezentoval postupne oktán-1-ol, heptán, cyklohexán a ako vodná fáza bol použitý tlmivý fosforečnanový roztok (TFR) s hodnotou  $\text{pH} = 7,4$ . U analyzovanej substancie UPB-2 sa vykonali v každom deliacom systéme tri paralelné stanovenia.

##### **Výpočet niektorých molekulových deskriptorov**

Hodnota polárneho povrchu molekuly (PSA) a počtu akceptorov vodíkov ( $n_{\text{acc}}$ ) pre UPB-2 (forma bázy) bola generovaná programom ChemBioDraw Ultra 11 (CambridgeSoft Corporation, Cambridge, USA); PSA = 77,02;  $n_{\text{acc}} = 6$ .

##### **Stabilita študovanej substancie UPB-2**

#### **Pôsobenie kyslého prostredia (kyselina chlorovodíková s $c = 0,1 \text{ mol.l}^{-1}$ )**

##### **Použité chemikálie**

Metanol *p.a.* (CentralChem, Bratislava, SR), lieh 96 % *p.a.* (Lachema, Brno, ČR), benzén *p.a.* (Lachema, Brno, ČR), dietylamín *p.a.* (Merck, Schudart, SRN).

##### **Pracovný postup**

Pripravilo sa 5 ml 1 % metanolového(-ých) roztoku(-ov) UPB-2 a „štandardu“ *p-OHBA*, z ktorých sa odobral 1 ml, pridal sa 1 ml kyseliny chlorovodíkovej

s  $c = 0,1 \text{ mol.l}^{-1}$ . Po 5 min sa roztoky hodnotili chromatograficky na TLC. Na fóliu Silufol UV<sub>254</sub> sa 1,5 cm od spodného okraja nanieslo 5  $\mu\text{l}$  roztokov UPB-2 a *p-OHBA*. Po vyvinutí vo vyvíjacej sústave  $S_{11}$  sa chromatogram vysušil a detegoval pod UV-lampou pri 254 nm. Získané hodnoty  $R_f$  (priemer troch paralelných stanovení) sú uvedené v diskusnej časti.

#### **Pôsobenie zásaditého prostredia (hydroxid sodný s $c = 0,1 \text{ mol.l}^{-1}$ )**

##### **Pracovný postup**

Rovnako ako pri hodnení stability v kyslom prostredí, ale namiesto kyseliny chlorovodíkovej s  $c = 0,1 \text{ mol.l}^{-1}$  sa použil hydroxid sodný s rovnakou koncentráciou. Získané hodnoty  $R_f$  (priemer troch paralelných stanovení) sú uvedené v diskusnej časti.

#### **Pôsobenie UV/VIS žiarenia**

##### **Pracovný postup**

Pripravil sa vodný a metanolový roztok UPB-2 s  $c = 1 \times 10^{-5} \text{ mol.l}^{-1}$ . V priebehu 1 h sa v 5-min intervaloch sledovali (prípadne) posuny vo vlnových dĺžkach absorpčných máxim ako aj (prípadne) zmeny v absorbanciách pri jednotlivých absorpčných máximach v obidvoch zvolených prostrediach.

#### **Stanovenie obsahu UPB-2**

#### **Stanovenie obsahu UPB-2 v UV/VIS oblasti spektra**

##### **Prístroje a zariadenia**

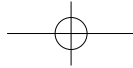
Pozri UV/VIS spektrofotometriu.

##### **Pracovný postup**

Pripravil sa 0,002% roztok, resp. roztoky UPB-2 vo vode ako aj v metanole, ktorých spektrum sa zaznamenalo v oblasti 190–400 nm proti čistému rozpúšťadlu. Zo zásobného roztoku (0,002 %) UPB-2 sa jednotliво odpípetovalo 2, 4, 6, 8 a 10 ml do piatich 10-ml odmerných baniek. Všetky odmerné banky sa doplnili po značku vodou, resp. metanolom a zaznamenala sa hodnota absorbancie (A) takto pripravených roztokov<sup>8)</sup>. Z nameňaných hodnôt A sa zostrojila kalibračná krivka; vo vodnom prostredí pri vlnovej dĺžke  $\lambda_{\text{max}} = 260 \text{ nm}$ , v metanolovom prostredí pri  $\lambda_{\text{max}} = 258 \text{ nm}$ . Hodnoty koncentrácií, A a log A sú uvedené v tabuľke 3.

Tab. 3. Parametre potrebné na zostrojenie kalibračnej krivky pre stanovenie obsahu UPB-2 vo vodnom ( $\lambda_{\text{max}} = 260 \text{ nm}$ ) a v metanolovom ( $\lambda_{\text{max}} = 258 \text{ nm}$ ) prostredí pomocou UV/VIS spektrofotometrie

c (mol.l <sup>-1</sup> )	Voda		Metanol	
	A	log A	A	log A
$5,032 \times 10^{-6}$	0,17863	-0,74805	0,22121	-0,65520
$1,006 \times 10^{-5}$	0,35753	-0,44669	0,42111	-0,37560
$1,510 \times 10^{-5}$	0,52896	-0,27658	0,66821	-0,17509
$2,013 \times 10^{-5}$	0,72459	-0,13991	0,88243	-0,05432
$2,516 \times 10^{-5}$	0,89706	-0,04718	1,09780	0,04052



### Vyhodnotenie výsledkov

Obsah UPB-2 sa stanovil z funkcie priamky ( $y = a x + b$ ). Po zostrojení kalibračnej krivky a štatistikom vyhodnotení jednotlivé symboly znamenali:  $y = A$  (absorbancia),  $b = a_0$  (úsek na osi  $y$ ),  $a = a_1$  (smernica priamky),  $x = c$ . Z týchto vzťahov vyplýva, že koncentrácia sa vypočíta podľa vzťahu:  $c = (A - a_0) / a_1$ . V získaných regresných rovniciach hodnota  $F$  je  $F$ -testom na testovanie štatistických hypotéz (štatistická indukcia) a  $n$  znamená počet prípadov.

### Stanovenie obsahu UPB-2 RP-HPLC metódou vnútorného štandardu

#### Použité chemikálie

Metanol UV (Lachema, Brno, ČR), nátriumacetát tavený čistý (Spolana, Neratovice, ČR), vnútorný štandard – *p-OHBA*.

#### Prístroje a zariadenia

Pozri stanovenie retenčného faktora  $k'$  pomocou RP-HPLC.

#### Chromatografické podmienky

Mobilná fáza – 90% metanol upravený roztokom nátriumacetátu; prietoková rýchlosť – 0,6 ml·min<sup>-1</sup>; tlak – 7,7 MPa; vlnová dĺžka – 248 nm; pracovná teplota – 21 °C.

#### Pracovný postup

Priprial sa zásobný roztok UPB-2 navážením množstva 0,020 g substancie, ktoré sa kvantitatívne prenieslo do 25-ml odmernej banky a rozpustilo sa v metanole. Z tohto roztoru sa odpipetovalo do piatich 25-ml odmerných baniek postupne po 1, 2, 3, 4 a 6 ml, pridalo sa 5 ml vnútorného štandardu (pripraveného navážením 0,010 g *p-OHBA*, ktoré sa kvantitatívne prenieslo do 25-ml odmernej banky a doplnilo sa po značku metanolom) a doplnilo sa metanolom po značku<sup>10)</sup>. Pomocou dávkovacieho ventilu sa z takto pripravených roztokov na kolónu nanášal objem 20 ml.

#### Vyhodnotenie výsledkov

Z pamäti počítača bol vyvolaný záznam analýzy vzorky, integrovali a opísali sa plochy zodpovedajúce analyzovanej látke ( $P_1$ ) a jej vnútornému štandardu ( $P_2$ ). Výsledky analýz<sup>10)</sup> sa vypočítali z pomery plôch píkow  $P_1/P_2$  (tab. 4).

### Výsledky a diskusia

V predchádzajúcej publikácii<sup>11)</sup> bola komplexne hodnotená zlúčenina s potenciálnym ultrakrátym antagonistickým pôsobením na  $\beta$ -adrenergéne receptory s pracovným označením UPB-1, v ktorej štruktúre bola bázická časť tvorená izopropylamóniovou skupinou. Podobne ako UPB-1 aj UPB-2, chemicky mono[3-[4-(2-etoxyethoxy)-benzoyloxy]-2-hydroxypropyl]-terc-butylamónium]fumarát, ktoré vypracovanie analytického profilu je predmetom tejto publikácie, bola pripravene na Ústavě chemických lečív FaF VFU v Brne. Jedná sa o bielu kryštalickú látku, ktorej chemická štruktúra,

Tab. 4. Parametre potrebné na zostrojenie kalibračnej krivky pre stanovenie obsahu UPB-2 pomocou RP-HPLC

$V^*$ (ml)	$c$ (mol·l <sup>-1</sup> )	$P_1$ (UPB-2)**	$P_2$ ( <i>p-OHBA</i> )**	$P_1/P_2$
1	$4,0255 \times 10^{-5}$	2412,0939	6596,0096	0,365690
2	$8,0510 \times 10^{-5}$	4610,5067	6607,1205	0,697809
3	$1,2077 \times 10^{-4}$	6937,9024	6601,0513	1,051030
4	$1,6102 \times 10^{-4}$	9096,8383	6612,0330	1,375800
6	$2,4153 \times 10^{-4}$	12568,7334	6687,8938	1,879326

\*Objem pridaného základného roztoru UPB-2 (0,0200 g/25 ml)

\*\*Plocha príslušných píkov formovaných UPB-2 ( $P_1$ ) a *p-OHBA* ( $P_2$ )

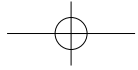
sumárny vzorec (bázická forma ako aj forma soli),  $M_r$  a interval teploty topenia sú prezentované v tabuľke 1. Pri syntéze UPB-2 bola použitá ako vstupná reagencia kyseľina *p*-hydroxybenzoová (*p-OHBA*), ktorej niektoré experimentálne stanovené fyzikálno-chemické parametre boli už sumarizované v práci<sup>11)</sup> a ktorá bola aj v tomto prípade využitá pri orientačnom hodnotení čistoty látky UPB-2 pomocou adsorpčnej chromatografie na tenkej vrstve, pri stabilitných skúškach ako aj pri stanovení jej obsahu s využitím RP-HPLC.

Totožnosť hodnotenej zlúčeniny UPB-2 bola potvrdená príslušnými spektrálnymi metódami. V <sup>1</sup>H- a <sup>13</sup>C-NMR spektre boli identifikované signály, ktoré prislúchali alkylovým fragmentom, resp. jednotlivým atómom vodíka a uhlíka v lipofilnej ako aj v bázickej oblasti molekuly. V <sup>1</sup>H-NMR spektre boli v intervale 6,70 až 7,20 ppm pozorované signály troch protónov, u ktorých možno predpokladať, že zodpovedajú signálom protónu OH-skupiny v spojovacom 2-hydroxypropán-1,3-diylovom reťazci a protónom NH<sub>2</sub><sup>+</sup>-skupiny. V <sup>1</sup>H- a <sup>13</sup>C-NMR-výstupoch boli identifikované a priradené signály protónov a atómov uhlíka tvoriacich aromatický skelet molekuly ako aj príslušný fumarátový anión.

Analýza IR spektier potvrdila prítomnosť *terc*-butylového substituenta, lipofilného aromatického jadra ako aj karboxylu. Pás IR spektra valenčnej vibrácie (C=O)-skupiny pri 1699 cm<sup>-1</sup> sa môže pri UPB-2 využiť pre kvantitatívne hodnotenie, pri UPB-1 bol tento pás pozorovaný pri 1704 cm<sup>-1</sup>.

UPB-2 je pomerne hydrofilnou zlúčeninou; je ľahko rozpustná v kyseline chlorovodíkovej s  $c = 0,1$  mol·l<sup>-1</sup>, v hydroxide sodnom s  $c = 0,1$  mol·l<sup>-1</sup> a v dimethylsulfoxide, dobre rozpustná v destilovanej vode, mierne rozpustná v metanole a v liehu 96 %, ľahko rozpustná v chloroforme a veľmi ľahko rozpustná v acetóne a v dietyléteri. Mierne zvýšenie lipofility hodnotenej štruktúry UPB-2 v porovnaní s UPB-1, t.j. zámena izopropylu (UPB-1) za terciárny butyl (UPB-2), však spôsobilo, že UPB-2 je relatívne ľahšie rozpustná v niektorých zvolených rozpúšťadlách ako UPB-1.

Na orientačné hodnotenie čistoty UPB-2 bola okrem RP-HPLC použitá adsorpčná chromatografia na tenkej vrstve. Súčasne s UPB-2 bola chromatograficky hodnotená aj *p-OHBA*. Z mnohých vyskúšaných dvoj- a trojzložkových využívajúcich sústav bola ako najvhodnejšia vyhodnotená sústava  $S_{11}$ : etanol : benzén : dietylamín ( $\varphi = 10 : 3 : 0,1$ ). V systéme  $S_{11}$  nastalo jednoznačné



oddelenie ohraničených škvŕn prislúchajúcich UPB-2 ( $R_f = 0,34$ ) a *p-OHBA* ( $R_f = 0,58$ ), pričom na príslušnom „stĺpci“ UPB-2 neboli pozorované iné škvŕny. V identickej vývijajúcej sústave a pri rovnakých laboratórnych podmienkach bola pre UPB-1<sup>11)</sup> stanovená nižšia hodnota  $R_f$  (0,29).

Povrchové napätie bolo študované nepriamou Traubeho stalagmometrickou metódou počítania kvapiek. Nárast lipofility spôsobil, že UPB-2 ( $\gamma = 0,06867 \text{ N.m}^{-1}$ ) je mierne povrchoaktívnejšou zlúčeninou ako UPB-1 ( $\gamma = 0,06954 \text{ N.m}^{-1}$ ) pri zachovaní rovnakých experimentálnych podmienok.

Na štúdium acidobázických vlastností bola použitá metóda alkalimetrickej titrácie (roztok hydroxidu sodného s  $c = 0,1 \text{ mol.l}^{-1}$ ) pri potenciometrickej indikácii bodu ekvivalencie. Študovaná zlúčenina UPB-2 mala mierne kyslý charakter, o čom svedčí stanovená hodnota  $pK_a = 5,56$ . Zámena izopropylu za terciárny butyl znamenala pokles hodnoty  $pK_a$  – pre UPB-1 bola v práci<sup>11)</sup> experimentálne určená hodnota  $pK_a = 5,71$ .

Pri štúdiu spektier v UV/VIS oblasti vykazovala UPB-2 dve absorpcné maximá. Vo vodnom roztoku sú to maximá pri  $\lambda_{1\max} = 198 \text{ nm}$  a  $\lambda_{2\max} = 260 \text{ nm}$ , v prostredí metanolu nastal mierny posun – absorpcné maximá boli zistené pri  $\lambda_{1\max} = 210 \text{ nm}$  a  $\lambda_{2\max} = 258 \text{ nm}$ . Modifikácia bázickej časti molekuly nemala vplyv na posun jednotlivých absorpcných máxim, keďže identické hodnoty boli indikované aj pre UPB-1<sup>11)</sup>.

Pri látke UPB-2 bola charakterizovaná aj jej lipofilita prostredníctvom určenia retenčných faktorov  $k'$ , resp.  $\log k'$  v sústavách s rozdielnym percentuálnym zastúpením metanolu ako súčasťou mobilnej fázy a rozdeľovacích koeficientov v troch rozdielnych rozdeľovacích systémoch.

Rozdielna miera lipofility UPB-2 a UPB-1<sup>11)</sup> sa odzrkadlila v hodnotách  $\log k'$  v oboch systémoch (tab. 2); v 90 % metanole boli zistené takéto retenčné charakteristiky:  $\log k'_{UPB-1} = -0,071$ ;  $\log k'_{UPB-2} = -0,027$ ; v 95 % metanole boli získané tieto údaje:  $\log k'_{UPB-1} = 0,015$ ;  $\log k'_{UPB-2} = 0,037$ . Pre porovnanie sú uvádzané aj stanovené hodnoty  $\log k'$  prislúchajúce *p-OHBA*:  $-2,153$  (v 90 % metanole) a  $-2,643$  (v 95 % metanole).

Hodnoty  $\log P_{\exp}$  pre UPB-2 boli určené klasickou *shake flask* metódou; pre určenie koncentrácie látky vo vodnej fáze sa využila UV/VIS spektrofotometria. V zvolených rozdeľovacích sústavách bol pozorovaný minimálny rozdiel v stanovených hodnotách  $\log P_{\exp}$ . V rozdeľovacom systéme oktán-1-ol/TFR predstavoval  $\log P_{\exp}$  hodnotu 1,92 (pre UPB-1 to bola hodnota 1,70); v sústave heptán/TFR bola hodnota  $\log P_{\exp} = 2,00$  (pre UPB-1 predstavoval tento parameter hodnotu 1,66) a v systéme cyklohexán/TFR  $\log P_{\exp} = 2,03$  (pre UPB-1 to bolo 1,62). Ako dokumentujú tieto výsledky, štruktúrny rozdiel medzi UPB-2 a UPB-1 sa pomerne výrazne odzrkadlil aj v hodnotách rozdeľovacích koeficientov určených vo všetkých troch systémoch.

Nežiaduce účinky  $\beta\text{B}$  spojené so stimuláciou CNS sú známe dlhodobo – bežne je pozorovaná letargia, útlm, únava, menej často sa vyskytujú vážnejšie stavy spojené s užívaním  $\beta\text{B}$ , ako napríklad depresie, živé sny, halucinácie, delírium, paranoidné psychózy alebo schizofrénia<sup>12)</sup>. Schopnosť  $\beta\text{B}$  pasívne prechádzať cez hematoen-

cefalickú bariéru (blood-brain barrier, BBB) je determinovaná, okrem iných faktorov, mierou ich lipofility. Relatívna afinita  $\beta\text{B}$  proti krvnému riečištu a mozgovému tkaniu je vyjadriteľná vzťahom:

$$\log BB = \log \left( \frac{C_{\text{mozog}}}{C_{\text{krv}}} \right)$$

kde parametre  $C_{\text{mozog}}$  a  $C_{\text{krv}}$  predstavujú rovnovážne koncentrácie liečiva v mozgu a v krvi<sup>13)</sup>. Distribúciu liečiva do nepolárnych oblastí mozgu odzrkadluje hodnota  $\log P_{\exp}$  stanovená pre systém cyklohexán/TFR ( $\log P_{\exp c}$ ), zatiaľ čo hodnota  $\log P_{\exp}$  stanovená v rozdeľovacej sústave oktán-1-ol/TFR ( $\log P_{\exp o}$ ) vyjadruje väzbu na proteíny v periférnom krvnom riečišti<sup>14)</sup>. Zlúčenina má tým hydrofilnejší charakter, čím je jej hodnota  $\log P_{\exp o-c}$  (t.j. rozdiel medzi  $\log P_{\exp o}$  a  $\log P_{\exp c}$ ) pozitívnejšia; to znamená, že ochotnejšie tvorí vodíkové väzby, v menšej miere preniká do nepolárnych oblastí mozgu a je v organizme distribuovaná prednose do krvi. Hodnota  $\log P_{\exp o-c} = -0,11$  pre UPB-2 teda indikuje, že u nej existuje určitý predpoklad permeácie cez hematoencefalickú bariéru práve do nepolárnych oblastí mozgu.

Pre predikciu schopnosti UPB-2 prechádzať cez BBB bolo zvolených niekoľko modelov a schém. V Youngovom modeli<sup>15)</sup> vyjadreného vzťahom:

$$\log BB = 0,889 - 0,485 \times \log P_{\exp o-c},$$

hodnota  $\log BB$  pre UPB-2 predstavovala 0,942, čo by znamenalo jej preferenčnú interakciu s mozgovým tkanivom. Hlavnou nevýhodou Youngovej schémy je pomerne limitovaný počet zlúčení ako aj ich výber v pôvodnom *training* súbore, preto sa v rámci tejto práce aplikovali aj iné možnosti predikcie prechodu UPB-2 cez BBB.

Podľa Kaliszana<sup>16)</sup> pre koreláciu  $\log P_{\exp o-c}$  a  $\log BB$  platí vzťah, v ktorom bola ako aditívna veličina implementovaná aj  $M_r$ :  $\log BB = 0,888 + 0,272 \times \log P_{\exp o-c} - 0,00112 \times M_r$ ;

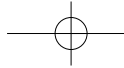
podľa tohto modelu je hodnota  $\log BB$  látky UPB-2  $-1,008$ .

Hodnota polárneho povrchu molekuly (polar surface area, PSA), je zakomponovaná aj v modeloch Keldera<sup>17)</sup> charakterizovaného vzťahom:  $\log BB = 1,330 - 0,032 \times PSA$  ( $\log BB$  pre UPB-2 je  $-1,135$ ) a Clarka<sup>18)</sup> definovaného rovnicou:  $\log BB = 0,550 - 0,016 \times PSA$  ( $\log BB$  pre UPB-2 je  $-0,682$ ).

Pri aplikovaní Panovej<sup>19)</sup> schémy:  $\log BB = 0,064 + 0,200 \times \log P_{\exp o} - 0,010 \times PSA$  bola hodnota  $\log BB$  pre látku UPB-2  $-0,322$ .

Podľa Abrahamovho a Weathersbyho modelu predikcie<sup>20)</sup>  $\log BB$  platí nasledovný vzťah:  $\log BB = 0,119 + 0,350 \times \log P_{\exp o} - 0,00502 \times M_r$ . Po dosadení príslušných parametrov bola hodnota  $\log BB$  v tomto prípade  $-3,200$ .

Feher<sup>21)</sup> navrhoval model, v ktorom zohľadnil aj schopnosť látky vytvárať väzby vodíkovým mostíkom:  $\log BB = 0,4275 - 0,0017 \times PSA + 0,1092 \times \log P - 0,3873 \times n_{acc}$ , v ktorom  $\log P = \log P_{\exp o}$  a  $n_{acc}$  bol počet akceptorov vodíkov v molekule vo vodnom prostredí (pre bázickú formu UPB-2 je to šesť akceptorov). Vypočítaná hodnota  $\log BB$  pre UPB-2 bola  $-1,818$ .



Podľa Crucianoho et al.<sup>22)</sup> je liečivo schopné prestupovať hematoencefalickou bariérou vtedy, ak je jeho hodnota  $\log BB$  vyššia ako  $-0,300$ . V prípade, ak nadobúda spomínaný parameter menšiu hodnotu ako  $-0,300$ , potom liečivo nie je schopné vstupovať do mozgového tkaniva. Na základe získaných údajov z jednotlivých prediktorových modelov možno predpokladať, že hodnotená zlúčenina *UPB-2* bude s vysokou pravdepodobnosťou preferovať väzbu na proteíny krvného riečišta pred prechodom cez hematoencefalickú bariéru (okrem výstupu z Youngovej schémy predikcie) podobne ako jej izoprotylový analóg, *UPB-I*<sup>11)</sup>.

Podľa hodnoty  $\log P_{\text{exp} \text{ o-h}}$  (rozdiel medzi hodnotami  $\log P_{\text{exp}}$  v systéme oktán-1-ol/TFR a v rozdeľovacej sústave heptán/TFR) pre látku *UPB-2* ( $-0,08$ ) možno usudzovať, že tá je ešte slabším donorom protónu ako *UPB-I* ( $0,04$ ).

Kyslé ako aj zásadité prostredie spôsobilo nestabilitu látky *UPB-2*, pri chromatografickom hodnotení (adsorpčná TLC) sa na chromatograme(-och) v „líni“ *UPB-2* okrem jej „vlastnej“ škvŕny objavili v oboch prostrediaciach aj ohraničené škvŕny prislúchajúce jednak *p-OHBA* (ktorá bola súčasne nanášaná na chromatogram ako referenčná substancia), ako aj ďalším „štiepnym“ produktom vznikajúcim pri rozklade *UPB-2* – zlúčeninám s pracovným označením  $X_1$  a  $X_2$ . V kyslom prostredí boli určené z chromatogramov tieto  $R_f$  hodnoty:  $0,35$  (pre látku *UPB-2*),  $0,68$  (*p-OHBA*),  $0,48$  ( $X_1$ ) a  $0,80$  ( $X_2$ ); hodnoty  $R_f$  spomínaných látok pri pôsobení zásaditého média boli len nepatrne nižšie:  $0,33$  (*UPB-2*),  $0,65$  (*p-OHBA*),  $0,45$  ( $X_1$ ) a  $0,78$  ( $X_2$ ). Pravdepodobne nastalo vplyvom príslušného prostredia parciálne štiepenie molekuly *UPB-2* v jej esterovej časti alebo v alkoxylovom zoskupení v lipofilnom fragmente. Rovnako tomu bolo aj pri hodnotení stability látky *UPB-I* v publikácii<sup>11)</sup>.

UV/VIS žiarenie nemalo v priebehu 1 h negatívny vplyv na stabilitu vodného a metanolového roztoku *UPB-2*; nedošlo k zmene hodnôt absorbancií pri konkrétnych absorpcích maximách a ani k ich posunu. Identický záver<sup>11)</sup> bol formulovaný aj pri hodnotení látky *UPB-I*.

Na „metodickú prípravu“ pre (možné) stanovenie obsahu *UPB-2* v konkrétnej liekovej forme alebo v telových tekutinách možno využiť spektrálne (UV/VIS spektrofotometriu) alebo aj chromatografické (RP-HPLC) metódy. Zlúčenina *UPB-2* bola stanovená spektrofotometricky pri vlnovej dĺžke druhého absorpcného maxima, t.j. pri  $\lambda_{2\max} = 260$  nm (pre vodné prostredie), resp. pri  $\lambda_{2\max} = 258$  nm (pre prostredie metanolu). Na základe získaných údajov bola zostrojená kalibračná krivka, výsledkom stanovenia vo vodnom prostredí bolo formulovanie rovnice lineárnej regresie v tvare:  $y = 35844(\pm 405)x - 0,0038(\pm 0,0061)$ ;  $R^2 = 0,999$ ;  $F = 7831$ ;  $n = 5$  (tab. 3); resp. pre stanovenie obsahu v metanolovom prostredí:  $y = 44003(\pm 715)x - 0,0061(\pm 0,0119)$ ;  $R^2 = 0,999$ ;  $F = 3783$ ;  $n = 5$  (tab. 3). V týchto rovniciach parameter  $y$  predstavoval absorbanciu,  $x$  vyjadroval koncentráciu stanovovanej látky v mol.l<sup>-1</sup>.

Vhodnou mobilnou fázou pre analýzu *UPB-2* pomocou vysokoúčinnej chromatografie s obráteným systémom fáz sa ukázal metanol 90 %. Pre stanovenie obsahu *UPB-2* pomocou RP-HPLC (tab. 4) mala formulovaná

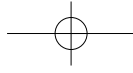
regresná rovnica nasledujúci tvar:  $y = 7571(\pm 347)x + 0,0986(\pm 0,0571)$ ;  $R^2 = 0,992$ ;  $F = 477$ ;  $n = 5$ ; parameter  $y$  znamenal pomer plôch píkov študovanej látky *UPB-2* a vnútorného štandardu (*p-OHBA*),  $x$  vyjadroval koncentráciu stanovovanej látky v mol.l<sup>-1</sup>.

V ďalších štúdiach sa bude pozornosť venovať spektrálnym identifikačným charakteristikám a stanoveniu niektorých fyzikálno-chemických konštánt štruktúrne podobných zlúčenín, v ktorých molekule bude, v porovnaní s *UPB-2*, variabilne substituovaná lipofilná časť molekuly. Všetky experimentálne získané údaje budú v budúcnosti slúžiť ako zdrojový súbor informácií pre komplexné hodnotenie vzťahov medzi chemickou štruktúrou a biologickou aktivitou.

**Konflikt záujmov:** žiadny.

## Literatúra

1. Kirshbaum J. M., Kloner R. A., Antman E. M., Braunwald E. Use of an ultra short-acting  $\beta$ -blocker in patients with acute myocardial ischemia. Circulation 1985; 72, 873–880.
2. Frishman W., Silverman R., Strom J., Elkayam U., Sonnenblick E. Clinical pharmacology of the new beta-adrenergic blocking drugs. Part 4. Adverse effects. Choosing a beta-adrenoceptor blocker. Am Heart 1979; 98, 256–262.
3. Yacobi, A., Kartzinel, R., Lai, C. M., Sum, C. Y. Esmolol: A pharmacokinetic profile of a new cardioselective beta-blocking agent. J Pharm Sci 1983; 72, 710–711.
4. Sum C. Y., Yacobi A., Kartzinel R., Stampfli H., Davis C. S., Lai C. M. Kinetics of esmolol, an ultra short-acting beta-blocker, and of its major metabolite. Clin Pharmacol Ther 1983; 34, 427–434.
5. Yasuda T., Kamiya H., Tanaka Y., Watanabe G. Ultra-short-acting cardioselective beta-blockade attenuates postischemic cardiac dysfunction in the isolated rat heart. Eur J Cardiothorac Surg 2001; 19, 647–652.
6. Uraoka M., Nakajima Y., Kurita T., Suzuki A., Takata K., Sato, S. Landiolol, an ultra short acting  $\beta_1$ -blocker, improves pulmonary edema after cardiopulmonary resuscitation with epinephrine in rats. J Anesth 2010; 24, 67–72.
7. Shiotsuka J., Sanui M., Lefor A. Safe use of landiolol hydrochloride in patient with marked pseudocholinesterase deficiency. J Anesth 2010; 24, 309–310.
8. Malík I., Sedlářová E., Čížmárik J., Andriamainty F., Csöllei, J.: Štúdium fyzikálno-chemických vlastností derivátov kyseliny 4-alkoxyfenylkarbámovej s bázickou časťou tvorenou substituovaným *N*-fenylpiperazínom. Farm Obzor 2005; 74, 211–215.
9. Slovenský liekopis, zväzok 1. 1. vyd. Bratislava: Herba 1997; s. 22.
10. Malík I., Sedlářová E., Csöllei J. Analytické hodnotenie 1-(di-propylamino-3-piperidino-propán-1-yl)-3-pentyloxy-fenylkarbamátu (CK-3635). Čes slov Farm 2004; 53, 256–260.
11. Malík I., Andriamainty F., Sedlářová E., Čížmárik J., Gališinová J., Mokrý P., Csöllei J., Karlovská J., Lukáč, M. Analytické hodnotenie mono[3-[4-(2-etoxyethoxy)-benzoyloxy]-2-hydroxypropyl]-izopropylamónium]fumarátu. Čes slov Farm 2011; 60, 84–93.
12. Fisher A. A., Davis M., Jeffery I. Acute delirium induced by metoprolol. Cardiovasc Drugs Ther 2002; 16, 161–165.
13. Kaznessis Y. N. A review of methods for computational prediction of blood-brain partitioning. Curr Med Chem Cent Nerv Syst Agents 2005; 5, 185–191.
14. Tsai R.-S., El Tayar N., Carrupt P.-A., Testa B. Physicochemical properties and transport behaviour of piribedil: Considerations on its membrane-crossing potential. Int J Pharm 1992; 80, 39–49.
15. Young R. C., Mitchell R. C., Brown T. H., Ganellin C. R., Griffiths R., Jones M., Rana K. K., Saunders D., Smith L. R., Sore N. E., Wilks T. J. Development of a new physicochemical model for brain penetration and its application to the design of centrally acting H2 receptor histamine antagonists. J Med Chem 1988; 31, 656–671.



16. Kaliszan R., Markuszewski M. Brain/blood distribution described by a combination of partition coefficient and molecular mass. *Int J Pharm* 1996; 145, 9–16.
17. Kelder J., Grootenhuis P. D. J., Bayada D. M., Delbressine L. P. C., Ploemen J.-P. Polar molecular surface as dominating determinant for oral absorption and brain penetration of drugs. *Pharm Res* 1999; 16, 1514–1519.
18. Clark D. E. Rapid calculation of polar molecular surface area and its application to the prediction of transport phenomena. 2. Prediction of blood-brain barrier penetration. *J Pharm Sci* 1999; 88, 815–821.
19. Pan D., Iyer M., Liu J. Constructing optimum blood barrier QSAR models using a combination of 4D-molecular similarity measures and cluster analysis. *J Chem Inf Comput Sci* 2004; 44, 2083–2098.
20. Abraham M. H., Weathersby P. K. Hydrogen bonding. 30. Solubility of gases and vapors in biological liquids and tissues. *J Pharm Sci* 1994; 83, 1450–1456.
21. Feher M., Sourial E., Schmidt J. M. A simple model for the prediction of blood-brain partitioning. *Int J Pharm* 2000; 201, 239–247.
22. Cruciani G., Pastor M., Guba W. VolSurf: a new tool for the pharmacokinetic optimization of lead compounds. *Eur J Pharm Sci* 2000; 11, 29–39.

## NOVÉ KNIHY

Nagy M., Grančai D., Mučaji P. **Farmakogómia. Biogenéza prírodných látok.**  
Martin: Vydavateľstvo Osveta 2011, 238 s. ISBN 978-80-8063-368-4.

Recenzované dielo je prou časťou projektovanej dvojdielnej učebnice farmakognózie pre študentov farmaceutickej fakulty. Cieľom tohto prvého zväzku je zovšeobecniť v ostatnom čase nazhromaždené poznatky, ktoré evidujeme v oblasti vzniku primárnych a sekundárnych metabolítov a prírodných látok.

Autori diela prof. Ing. Milan Nagy, CSc., prof. RNDr. Daniel Grančai, CSc., a doc. PharmDr. Pavel Mučaji, PhD., sú dlhoroční, skúsení a kvalifikovaní učitelia Katedry farmakognózie a botaniky Farmaceutickej fakulty Univerzity Komenského (FaF UK) v Bratislave.

Obsah učebnice je rozdelený logicky a podľa zásad racionálnej pedagogiky. Po v úvode stručne vysvetleno poslaní učebnice a použitých skratiek sa autori tézovite zaoberajú historiou fytoterapie a farmakognózie. V ďal-

šej časti potom popisujú základy farmakognostickej terminológie a systém klasifikácie zlúčenín.

Jadro učebnice tvoria kapitoly o biogenéze vzniku sacharidov, terpénov, polyketidov, šikimátov, alkaloidov, xantínových derivátoch, kapsaicinoidov, betalaínov, kyanogénnych glykozidov, glukozinolátov, cysteín-S-oxidov a tiosulfinátov. Vznik týchto typov zlúčenín popisujú stručne slovne a názornými biochemickými schémami, v ktorých sú najdôležitejšie medziprodukty, funkčné skupiny a enzými aj odlišené farebne. Táto kombinácia umožní študentovi lepšie a hlbšie pochopiť študovanú matériu. Cennou devízou učebnice je obšírný zoznam použitých literatúry pokrokov v tejto oblasti za posledné obdobie.

Zovšeobecňujúc obsah recenzovanej učebnice možno konštatovať, že jej náplň tvorí vynikajúci teoretický základ pre štúdium modernej dynamicky vyvíjajúcej sa farmakognózie.

J. Čižmárik